

# 鋼管ガイに作用するネガティブ フリクションについて

日本大学工学部大学院修士

学生員 小山田吉孝

## 1. まえがき

最近の経済の高度成長は土木工学の分野においても多大な影響を及ぼしている。钢管ガイ基礎は、钢管ガイの材質、施工技術、溶接技術の向上と構造物の基礎として、埋立地盤や厚い軟弱地盤を利用せざるを得ないような産業の発展とともに、年々長大化する傾向にある。厚い軟弱層を貫いて打設された長い钢管ガイは周辺地盤の圧密沈下によって生じる Negative Friction (以下  $F_n$  と略す) の作用を受けやすく、構造物は大きさは不同沈下を被る恐れがある。打設頭初は、クイヒクイ周辺地盤との摩擦力は上向き (Positive Friction) で、土載荷重の一部を負担しているが、クイ周辺地盤 (通常は軟弱地盤が多い) に広く荷重が作用する場合とか、地下水の変動によって土被り重量が徐々に増加する場合には圧密沈下が生じ、今まで上向きだった摩擦力が徐々に消失し、クイに対してクイ周辺地盤が相対的に下向きの変位を生じるため、逆に、下向きの摩擦力が作用して、クイを引きずり込むように地盤からクイに伝達され、クイ先端の支持力に過大な負担をかける場合がある。このように、地盤沈下に起因してクイ周面に下向きに作用する摩擦力を Negative Friction と呼んでいる。筆者はこの  $F_n$  はクイの周辺の地盤の圧密沈下によってせん断強度が増加することに密接な関係があることに着目し、模型実験による基礎的研究の結果について報告するものである。

## 2. 実験方法

実験装置は図-2.1 に示す。この装置は大型の圧密試験機と言っても過言ではなく、主な部分として、試料に圧密を生じさせるための圧密荷重装置、土とクイを入れるシリンダー (高さ 45cm、直径 30cm)、およびクイに作用する下向きの摩擦力を  $F_n$  を測定するブルーピング リングの三つの部分からなりたっている。

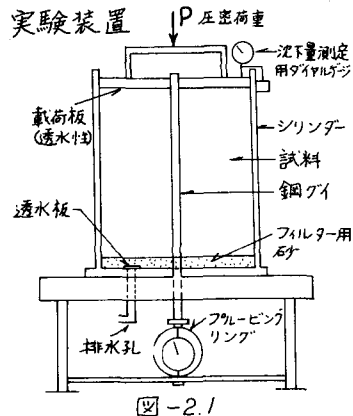
まず、钢管ガイ (直径 20mm) をシリンダー内中央に垂直に立て、ブルーピング リング上に載せる。下部排水孔に目のあらう透水板をあさ、その上にフィルター用の砂を約 3cm の厚さに敷きはうし、その最上部からクイの長さ (クイと試料とが接する長さ) を測定してから、飽和した試料ができるだけ均一になるように、シリンダーの最上部まで詰める。試料の表面を平滑にし、圧密荷重を載荷するための載荷板を置き、沈下量を測定するためのダイヤルゲージをマグネットスタンドで取り付ける。

これまでのセットが終わったら、測定にはいる。圧密荷重を 0.1, 0.2, 0.4, 0.8, 1.0 kg/cm<sup>2</sup> とし、それそれに 48 時間、試料を圧密させて、所定の経過時間 (6', 9', 15', 30', 1', 2', 4', 8', 15', 30', 60', 90', 120', 150') に沈下量と  $F_n$  を同時に測定する。

本実験に使用する試料はカオリイン粘土に石コウ (吉野石膏 YN プラスター: 商品名) を 30% 加えた混合物とし各種土質試験から試料の初期含水比を 85% とした。この試料の諸性質を表-2.1 に示す。

## 3. 実験結果および考察

実験結果を表-3.1 に示す。この結果に基づいて、それらの関係について述べることにする。本実験は試料



試料の特性

比重 Gs	液性限界 L.L (%)	塑性限界 P.L (%)	塑性指数 PI
2.87	71.0	37.0	34.0
先行荷重 P <sub>0</sub> (kg/cm <sup>2</sup> )	圧縮指数 C <sub>c</sub>	粘着力 C (kg/cm)	内部摩擦角 tan φ
0.25	0.85	0.06	0.23

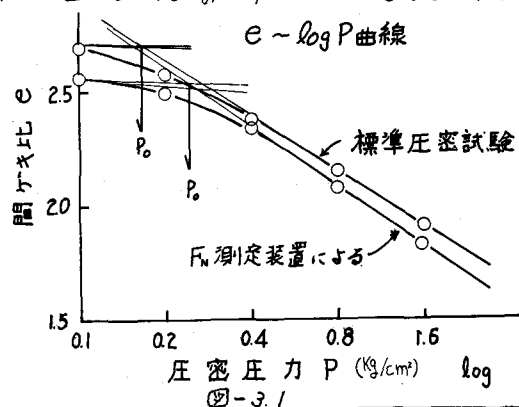
表-2.1

の圧密沈下に帰因する  $F_N$  を測定するものであり、前述したように、実験の過程を大型圧密試験と考え、標準圧密試験と同様にして整理し、一例を示すと、 $e \sim \log P$  曲線は図-3.1 のようになる。先行荷重  $P_0$  は  $0.25 \text{ kg/cm}^2$  圧縮指数  $C_c$  は 0.85 である。先に標準圧密試験によって求めた値  $P_0 = 0.18 \text{ kg/cm}^2$ ,  $C_c =$  よりも若干大きな値を示しているが、これは圧密時間と試料総厚の相違によるものと思われる。図-3.2 は圧密荷重  $P$  と  $F_N$  (クイヒクイ周辺地盤が接している部分の単位表面積に作用する Negative Friction 単位:  $\text{kg}/\text{cm}^2$ ) との関係である。この図において不連続点が見られるが、この点は  $e \sim \log P$  曲線における先行荷重  $P_0$  とほぼ一致している。すなわち、先行荷重以下における荷重では、沈下が進行しないため、 $F_N$  も増加せず、 $F_N$  はクイヒクイ周辺地盤の圧密沈下に起因することが明らかにうえることができる。そして先行荷重以上の荷重で圧密すると、 $F_N$  も図-3.2 に見られるように指數関数的に増加している。

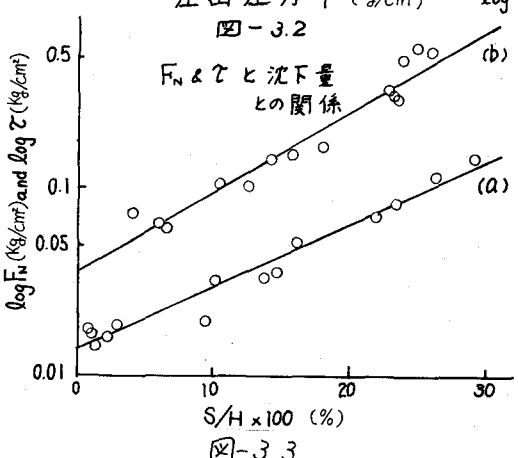
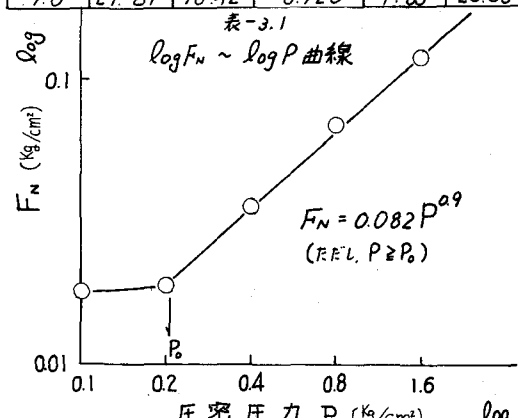
$F_N$  はクイヒクイ周辺地盤の圧密沈下に伴うセン断強度に関係があることに着目し、 $F_N$  を、沈下量  $S$  と試料初期厚  $H$  との比 ( $S/H$ ) × 100 について整理すると、図-3.3 における (a) のよう直線を示し、また、一面セン断試験 (C.D 試験) の結果、セン断強度  $c$  を、( $S/H$ ) × 100 について整理すると、図-3.3 の直線 (b) のようになる。この二つの直線からセン断強度  $c$  と  $F_N$  との関係を表わすと、図-3.4 のように一次関数の実験式が求まる。 $F_N$  は一面セン断強度の約  $1/3$  の値を示している。ただし、図-3.4 における直線 (a) で、( $S/H$ ) × 100 が 0 のとき、 $F_N$  が生じているのは、試料が軟弱で飽和している粘性土であるため、シリンダー内に試料を詰め終えてから載荷板を載せて測定にはいるまでに、いくらかの沈下が生じているのであろう。このことを考慮すると、 $F_N$  はセン断強度の約程度の大きさとなり、現在行われている鋼製の設計にうれしい  $F_N$  の値では経済的な設計とは言えないと思われる。

図-3.3 および図-3.4 における一面セン断試験用の試料の条件を  $F_N$  測定に用いる試料と比較すると、初期含水比が同じであるほかは、試料の厚さ、圧密時間の条件が異なるため、 $c$  と  $F_N$  を関係づけるには不合理な面が生じるかもしれない。そこで、 $F_N$  の測定と同時にクイヒクイ周辺地盤のセン断強度 (ベーンセン断強度)  $c$  を測定した結果について述べることにする。

図-3.5 は圧密荷重  $P$  とセン断強度  $c$  との関係、図-3.6 は  $c$  と  $F_N$  との関係をそれぞれ示している。ただし、



圧密圧力 $P (\text{kg}/\text{cm}^2)$	$F_N \text{ max}$ $(\text{kg})$	沈下量 $S (\text{cm})$	単位クイ周面積 に作用する (%)	間けき比 $S/H \times 100$	沈下量(初期 厚) $S/H \times 100$
0.1	4.42	0.39	0.018	2.55	0.99
0.2	4.52	1.17	0.019	2.50	2.97
0.4	7.60	5.87	0.036	2.33	14.86
0.8	13.22	8.66	0.069	2.09	21.93
1.6	21.89	10.42	0.120	1.83	26.38



圧密荷重  $1.6 \text{ kg/cm}^2$  のときのせん断強度はベースセン断試験では測定できなかったため、シンウォールサンプラーで試料を乱さないようにして採取して、一軸圧縮試験を行なった結果を用いている。一般に、せん断強度はワーロンの式、 $\tau = C \tan \phi + C$  で表わせる直線であるが、本実験の結果、指數関数で示される曲線となつてある。これは、前述したことであるが、試料の厚さと圧密時間すなはち、この実験では一荷重段階につき一つの試料で荷重が変わることに試料を詰め替えており、一荷重段階 48 時間という同じ圧密時間をとっているため小さな荷重と大きな荷重では圧密度が異なっていることなどが原因でせん断強度も異なった曲線でできたものと考えられる。こので  $F_N$  との関係を示すと図-3.4 のようになる。この図は  $F_N$  の実験式を求めるために便宜上、 $\log F_N$  を対数にとて、 $\log \tau$  と  $F_N$  との関係を示したものである。この  $\tau$  と  $F_N$  の関係を図-3.4 にプロットすると、その点は直線附近に位置する。この結果を、日本建築学会、鋼ダイ基礎設計施工規準・同解説に掲げられている  $F_N = \pi D L S$  ( $D$ : クイの径、 $L$ : クイと土が接している長さ  $S$ : クイ周辺土の平均せん断強度) と比較すると、建築学会における  $F_N$  は約 2~3 倍程大きい値を示している。

#### 4.まとめ

本実験における結果および考察から言えることは次のようなことである。

$F_N$  とせん断強度  $\tau$  の関係はやはり直接的関係であり、直接的および間接的に求めたせん断強度の約  $1/2$ ~ $1/4$  の値を  $F_N$  は示している。また、従来、 $F_N$  の推定法としてクイの有効表面積にクイ周辺土の平均粘着力  $S$  を乗じたものを採用しているが、 $F_N$  はこの値の約  $1/2$ ~ $1/4$  の値で十分であると思われる。ただ、本実験の場合、基礎的には研究であり、実験条件についても少し研究の余地が十分あり、今回ほここれまでにとどめ、次回にまた発表する所存である。なおこの実験に関して、ご指導して下さった日本大学工学部土質研究室の諸先生、また、実験に直接なさなった高橋泰文、円谷不二夫、中村日出男の諸君に深く感謝の意を表します。

#### 参考文献

- 1) 鋼ダイー土質工学会論
- 2) 建築鋼ダイ基礎設計施工規準・同解説

